

## 상압소결법에 의해 제조한 SiC 복합체의 특성에 미치는 TiB<sub>2</sub>, ZrB<sub>2</sub>와 소결온도의 영향

### Effects of TiB<sub>2</sub>, ZrB<sub>2</sub> and Sintering Temperature on SiC Composites Manufactured by Pressureless Sintering

주진영\*, 박미림\*, 신용덕\*, 임승혁\*\*  
(Jin-Young Ju\*, Mi-Lim Park\*, Yong-Deok Shin\*, Seung-Hyuk Yim\*)

#### Abstract

The  $\beta$ -SiC+ZrB<sub>2</sub> and  $\beta$ -SiC+TiB<sub>2</sub> ceramic electroconductive composites were pressureless-sintered and annealed by adding 12wt% Al<sub>2</sub>O<sub>3</sub>+Y<sub>2</sub>O<sub>3</sub>(6 : 4wt%) powder as a function of sintering temperature. The relative density showed highest value of 84.92% of the theoretical density for SiC-TiB<sub>2</sub> at 1900°C sintering temperature. The phase analysis of the composites by XRD revealed of  $\alpha$ -SiC(6H), TiB<sub>2</sub>, Al<sub>5</sub>Y<sub>2</sub>O<sub>12</sub> and  $\beta$ -SiC(15R). Flexural strength showed the highest of 230 MPa for SiC-ZrB<sub>2</sub> composites sintered at 1900°C. The vicker's hardness increased with increasing sintering temperature and showed the highest for SiC-ZrB<sub>2</sub> composites sintered at 1900°C. Owing to YAG, the fracture toughness showed the highest of 6.50 MPa·m<sup>1/2</sup> for SiC-ZrB<sub>2</sub> composites at 1900°C. The electrical resistivity was measured by the Pauw method from 25°C to 700°C. The electrical resistivity of the composites showed the PTCR(Positive Temperature Coefficient Resistivity).

**Key Words :** ZrB<sub>2</sub>, TiB<sub>2</sub>, Electroconductive composites, Pressureless-sintering, PTCR

#### 1. 서 론

SiC의 소결에는 고온에서 가압하여 소결하는 고온 가압 소결법이 일반적으로 사용되고 있으며, 이 방법을 이용하여 혼합물을 소결하면 밀도와 강도에서 이론치에 가까운 특성을 나타내고 있다. 이러한 방법을 통하여 본 저자들은 SiC와 TiB<sub>2</sub>의 장점을 그대로 이용하여 복합화하므로써 도전성, 내산화성, 기계적 강도 등 저온(1000°C 이하) 및 고온용 도전재료로써 필요한 특성을 지닌 전력용 세라믹히터 개발 목적으로  $\beta$ -SiC에 첨가물로 ZrB<sub>2</sub>와 TiB<sub>2</sub>를 혼합하고,

소결성을 높이기 위하여 소결첨가제로 Al<sub>2</sub>O<sub>3</sub>+Y<sub>2</sub>O<sub>3</sub>를 첨가하여 hot-pressed한 복합체에 대해 조사 연구한 바 있다[1-2].

그 결과에 의하면 소결온도를 낮춤으로써 휘발성이 강하여 잘 나타나지 않는 YAG상이 형성되어 SiC 단일체보다 2배이상의 파괴인성 증진과 제 2종 Ni-Cr과 거의 비슷한 전기저항률을 나타나는 것을 밝혔다. 또한 소결첨가제로 12 wt% Al<sub>2</sub>O<sub>3</sub>+Y<sub>2</sub>O<sub>3</sub>를 첨가하였을 때 가장 좋은 특성이 나타났다.

그러나, 고온가압소결법은 고온가압소결로를 필요하게 되어 그 경제성면에서 실용화하기 어려운 단점이 있다.

따라서, 본 연구에서는 고온가압소결법에 비해 제조단가가 값싼 무가압 소결법을 이용하여 소결온도를 1750~1900°C 까지 변화하고, 소결첨가제를 12wt% Al<sub>2</sub>O<sub>3</sub>+Y<sub>2</sub>O<sub>3</sub>를 첨가하여 제조한  $\beta$ -SiC에 TiB<sub>2</sub>와 ZrB<sub>2</sub>를 각각 혼합한 도전성 복합체의 기계적

\* : 원광대학교 전기전자 및 정보공학부

(전북 익산시 신용동 원광대학교,

Fax: 063-850-6736

E-mail : ydshin@wonkwang.ac.kr)

\*\* : 성균관대학교 전기전자 및 컴퓨터공학부

특성을 평가할 목적으로 격임강도, Vicker's 경도, SEM관찰, 파괴인성 및 전기저항률을 조사하였다.

## 2. 실험 방법

### 2.1 출발원료 및 혼합

본 실험에서 사용된  $\beta$ -SiC와 TiB<sub>2</sub>와 ZrB<sub>2</sub>는 독일 H. C. Starck사의 Grade BF12와 Grade B제품을 사용하였고, 소결첨가제로 쓰인 Al<sub>2</sub>O<sub>3</sub>(99.5%)와 Y<sub>2</sub>O<sub>3</sub>(99.99%)는 각각 일본 Showa Chemical Inc.사의 제품과 미국 Aldrich Chemical Company, Inc.사의 제품을 이용하였다.

출발원료는  $\beta$ -SiC에 TiB<sub>2</sub>, ZrB<sub>2</sub>를 혼합하고, 이 혼합물에 12wt%의 Al<sub>2</sub>O<sub>3</sub>+Y<sub>2</sub>O<sub>3</sub>(6 : 4 mixture of Al<sub>2</sub>O<sub>3</sub> and Y<sub>2</sub>O<sub>3</sub>)를 첨가하였다. 준비된 분말을 Polyurethane Pot에 넣고 24hr Ball milling 한 후, binder를 혼합하여 3시간 재 milling 하였다. green body의 성형압력은 1,305kg/cm<sup>2</sup>이다.

### 2.2 소결

$\beta$ -SiC에 TiB<sub>2</sub>와 ZrB<sub>2</sub>를 혼합하고, Al<sub>2</sub>O<sub>3</sub>+Y<sub>2</sub>O<sub>3</sub>를 12wt%를 혼합하여 성형, 탈지한 시편 4개를 상암소결로를 이용하여 Ar 분위기에서 각각 1750, 1800, 1850, 1950°C로 소결하였다. 소결과정은 그림 1에 나타내었다.

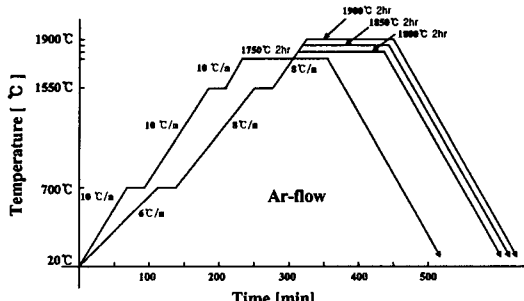


그림 1 승온 및 냉각 프로그램.

Fig. 1. Heating & cooling schedule.

### 2.3 물성 측정

복합체의 이론밀도는 혼합법칙에 의해서 구해졌고, 상대밀도는 중류수를 이용한 아르키메데스법으로 각각의 시편당 5개의 시편을 취하여 각 시편 당 5회 측정한 값의 평균값을 취하였다.

소결시편의 상분석은 XRD(PW1700 system, Philips, U.S.A.)을 이용하여 분석하였고, 미세구조는 SEM(JSM-

840A Jeol, Japan)를 이용하여 관찰하였다.

파괴강도 측정용 시편의 크기는 3×4×25mm이며, 10μm의 다이아몬드 분말로 표면을 연마한 후, 재료시험기(Instron, Model 4204)를 이용하여 0.5 mm/min의 조건으로 곡강도 시험법( JIS R 1601)에 의해 3점 곡강도를 각 시편당 3회 측정하여 파괴강도값을 구하였다.

경도 및 파괴인성 측정은 시편을 0.1μm 다이아몬드 분말로 최종 경면 가공한 후 비커스 미소경도시험기(Matsuzawa, Model DVK-2, Japan)를 이용하여 경도 및 파괴인성 시험법인 암인법으로 측정하였다. 시편에 가한 하중은 20kgf, 40μm/sec, 유지시간은 10초로 하였으며, 각 시편당 5회 측정하였다. 경도 및 파괴인성치는 A. G. Evans & T. R. Wilshaw[3]식으로 계산하였다.

### 2.4 전기 저항률 측정

복합체의 전기저항률은 25°C에서 700°C까지 Pauw법[4]으로 시편당 110회를 측정하여 전기저항률  $\rho$ 는 식 (1)로 계산되었다.

시편은 wire-EDM[5](Electro Discharge Machining)으로 가공되었다.

$$\rho = \frac{\pi d}{\ln 2} \frac{R_1 + R_2}{2} \times f \left( \frac{R_1}{R_2} \right) \quad (1)$$

여기서,

$$R_1 = \frac{V_{CD}}{I_{AB}} (\Omega) \quad R_2 = \frac{V_{BC}}{I_{AD}} (\Omega)$$

$V_{BC}$  : 단자 AD간에 전류  $I_{AD}$ 를 흘렸을 때의 단자 BC간의 전압.

$V_{CD}$  : 단자 AB간에 전류  $I_{AB}$ 를 흘렸을 때의 단자 CD간의 전압.

f : 보정계수( $R_1/R_2 < 1.5$ 이면, f = 1)

d : 시료의 두께.

## 3. 결과 및 고찰

### 3.1 상분석 및 미세구조

그림 2에 나타난 바와 같이 상대밀도는 ZrB<sub>2</sub>를 첨가했을 때보다 TiB<sub>2</sub>를 첨가했을 때 모든 소결온도에서 더 높게 나타나고 있다.

ZrB<sub>2</sub>일 때 소결온도가 1850°C이하에서는 거의 비슷한 값을 나타내고 있지만, TiB<sub>2</sub>일 때는 소결온도가 증가할수록 78.83 → 79.06 → 80.94 → 84.92%로

증가하고 있다.

XRD 분석결과 SiC와 ZrB<sub>2</sub>, TiB<sub>2</sub>는 반응하지 않았고, 모든 시편에서 YAG상이 나타나고 있다.

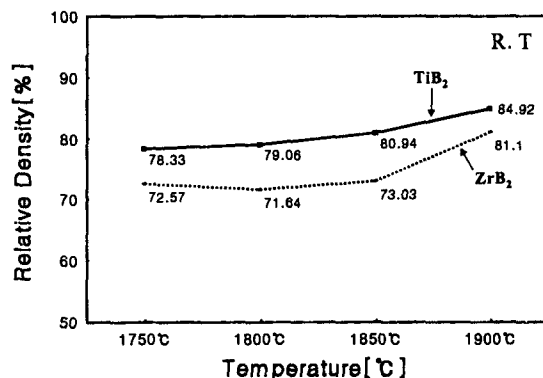


그림 2 온도의 변화에 따른 상대밀도.

Fig. 2. Relative density with variation of temperature.

### 3.2 기계적 강도

그림 3은 파괴강도 값을 나타낸 것인데, ZrB<sub>2</sub>나 TiB<sub>2</sub>를 첨가하였을 때 모두 소결온도가 증가할수록 증가하였고, ZrB<sub>2</sub>를 첨가하여 1900°C에서 소결한 복합체에서 230 MPa로 가장 높게 나타나고 있다.

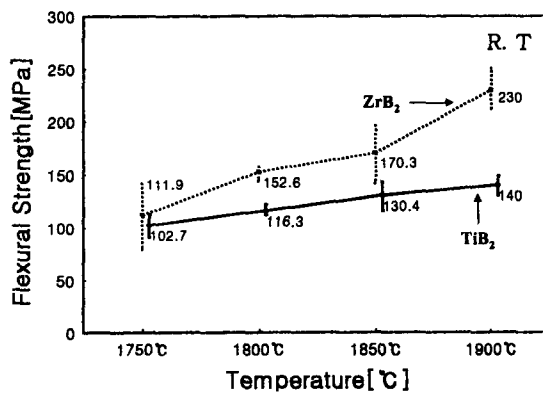


그림 3. 온도의 변화에 따른 3점 곡강도 시험.

Fig. 3. Three-point flexural strength with variation of temperature.

그림 4와 5는 경도와 파괴인성을 나타내었다. 이는 밀도와 같은 유형으로 나타나고 있으며, ZrB<sub>2</sub>를 첨가하여 1900에서 소결한 복합체에서 9.88 GPa와 6.50 MPa · m<sup>1/2</sup>으로 가장 높게 나타나고 있다. TiB<sub>2</sub>

를 첨가했을 때 소결 온도가 올라가수록 YAG상이 증가하여 상대밀도가 증가되었고, 그러한 YAG상이

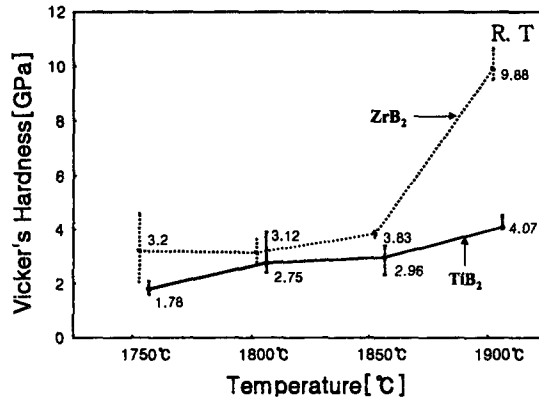


그림 4 온도의 변화에 따른 Vicker's 경도.

Fig. 4. Vicker's hardness with variation of temperature.

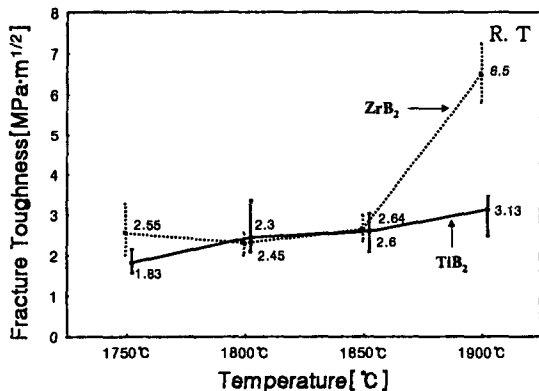


그림 5. 온도의 변화에 따른 파괴인성.

Fig. 5. Fracture toughness with variation of temperature.

를 첨가했을 때 소결 온도가 올라가수록 YAG상이 증가하여 상대밀도가 증가되었고, 그러한 YAG상이 크랙의 구동력을 낮추는 결과를 가져와 파괴인성이 증진된 것으로 사료된다. 그러나 ZrB<sub>2</sub>를 첨가했을 때 YAG상과 상대밀도가 떨어지지만, 파괴인성은 TiB<sub>2</sub>를 첨가했을 때보다 높게 나타나고 있다. 이러한 이유는 SiC 입자 성장이 TiB<sub>2</sub>를 첨가했을 때보다 크게 나타나고 있고, 기공의 영향으로 균열 진행이 억제되어 오히려 높게 나타난 것으로 사료된다.

그림 6의 의한 파괴거동에 나타난 바와 같이  $\alpha$ -SiC와 ZrB<sub>2</sub>와 TiB<sub>2</sub>[6-7]의 열팽창계수 차이로부터

고유 잔류응력이 원인이 되어 생기는 크랙 편향 현상 및 가교 현상은 모든 시편에서 나타나고 있다.

### 3.3 전기저항률

그림 7에 나타난 바와 같이 1750, 1800, 1850과 1900일 때 전기저항률은 25°C에서  $\text{TiB}_2$ 일 때 각각  $5.51 \times 10^{-4}$ ,  $2.11 \times 10^{-3}$ ,  $7.91 \times 10^{-3}$ 와  $6.91 \times 10^{-3} \Omega \cdot \text{cm}$  와  $\text{ZrB}_2$ 일 때 각각  $1.36 \times 10^{-4}$ ,  $3.83 \times 10^{-4}$ ,  $3.51 \times 10^{-4}$  와  $3.2 \times 10^{-4} \Omega \cdot \text{cm}$ 을 나타내었고, 700°C에서  $\text{TiB}_2$  일 때 각각  $1.71 \times 10^{-3}$ ,  $5.98 \times 10^{-3}$ ,  $2.36 \times 10^{-3}$ 와  $2.25 \times 10^{-3} \Omega \cdot \text{cm}$  와  $\text{ZrB}_2$ 일 때  $5.21 \times 10^{-4}$ ,  $1.35 \times 10^{-3}$ ,  $1.06 \times 10^{-3}$ 와  $1.07 \times 10^{-3} \Omega \cdot \text{cm}$ 로 증가하는 PTCR 특성을 나타내고 있다.

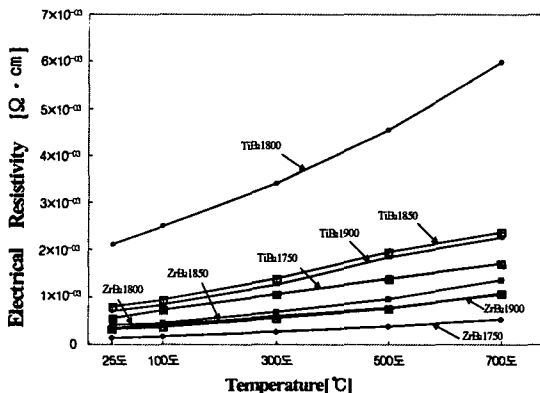


그림 7. 전기저항률의 온도 의존성.

Fig. 7. Temperature dependence of electrical resistivity.

소결온도가 1750, 1800, 1850과 1900일 때 저항온도계수는  $\text{TiB}_2$  첨가시 각각  $3.12 \times 10^{-3}$ ,  $2.72 \times 10^{-3}$ ,  $2.94 \times 10^{-3}$ ,  $3.34 \times 10^{-3}/\text{°C}$ 로 나타나고,  $\text{ZrB}_2$  각각  $4.19 \times 10^{-3}$ ,  $3.75 \times 10^{-3}$ ,  $2.99 \times 10^{-3}$ ,  $3.49 \times 10^{-3}/\text{°C}$ 로 나타나고 있다.

### 4. 결 론

$\beta$ -SiC-ZrB<sub>2</sub>와  $\beta$ -SiC-TiB<sub>2</sub> 도전성 복합체에 12wt% Al<sub>2</sub>O<sub>3</sub>+Y<sub>2</sub>O<sub>3</sub>를 첨가하여 1750 ~ 1900°C에서 무가압소결법에 의해 제조한 복합체의 특성을 조사한 결과는 다음과 같다.

- 1) 상대밀도는 ZrB<sub>2</sub> 첨가시보다 TiB<sub>2</sub> 첨가시 높게 나타나고 있다.
- 2) 격임강도, 경도 및 파괴인성은 1900°C에서 ZrB<sub>2</sub>를 첨가하여 소결한 복합체에서 각각 230 MPa,

9.88 GPa 및 6.50 MPa · m<sup>1/2</sup>으로 가장 높게 나타나고 있다.

3) 전기저항률은 모든 시편에서 PTCR 특성을 나타내고 있으며, 소결온도가 1750, 1800, 1850과 1900 일 때 저항온도계수는  $\text{TiB}_2$  첨가시 각각  $3.12 \times 10^{-3}$ ,  $2.72 \times 10^{-3}$ ,  $2.94 \times 10^{-3}$ ,  $3.34 \times 10^{-3}/\text{°C}$ 로 나타나고,  $\text{ZrB}_2$  각각  $4.19 \times 10^{-3}$ ,  $3.75 \times 10^{-3}$ ,  $2.99 \times 10^{-3}$ ,  $3.49 \times 10^{-3}/\text{°C}$ 로 나타나고 있다.

### 참고 문헌

- [1] Seung Hyuk Yim, Yong Deok Shin, Jin Young Ju, Se Won Yoon and Joon Tae Song, "Properties of  $\beta$ -SiC-TiB<sub>2</sub> Composites with Al<sub>2</sub>O<sub>3</sub>+Y<sub>2</sub>O<sub>3</sub> Additives" KIEE Vol. 49, No. 7, pp. 394-39, 2000..
- [2] Yong Deok Shin, Jin Young Ju, Chul Hwang, "The Properties of  $\beta$ -SiC-ZrB<sub>2</sub> Electroconductive Ceramic Composites with Al<sub>2</sub>O<sub>3</sub>+Y<sub>2</sub>O<sub>3</sub> Contents" Trans. KIEE Vol. 49, No. 9, pp. 516-21, 2000.
- [3] A. G. Evans and T. R. Wilshaw, "Quasi-Static Solid Particle Damage in Brittle Solids-1. Observation Analysis and Implication", Acta Metallurgica. Vol. 24, pp. 939-956, 1976.
- [4] L. J. Van der Paw "A Method of Measuring Specific Resistivity and Hall Effect of Discs of Arbitrary Shapes", Philips Research Reports, 13[1], pp. 1-9, 1958.
- [5] M. Ramulu and M. Taya, "EDM machinability of SiCw/Al Composites" Journal of Materials Science. Vol. 24, pp. 1103-1108, 1989.
- [6] Patricia A. Hoffman, "Thermo Elastic Properties of Silicon Carbide-Titanium Diboride Particulate Composite" M. S Thesis, Department of Materials Science and Engineering, The Pennsylvania State University, 1992.
- [7] Yukinori Kutsukake, "The Development of ZrB<sub>2</sub>-Based Ceramic" Ceramic Data Book, pp. 687-703, 1987.